

Об эффективности ТЭС – РГТУ с двухступенчатым сжатием воздуха в компрессорах и подводом теплоты в основную и дополнительную камеры сгорания с полезным использованием теплоты уходящих газов для нагрева воздуха

Бирюков Б. В., канд. техн. наук, Шапошников В. В., инж.

Кубанский государственный технологический университет, Краснодар

Дано описание исследуемой схемы ТЭС – РГТУ (регенеративной газотурбинной установки) с двухступенчатым сжатием воздуха в компрессорах и подводом теплоты в основную и дополнительную камеры сгорания. Приведены результаты вариантов оптимизации параметров рабочих тел установки с применением метода математической оптимизации. Определен КПД газотурбинной установки (ГТУ), значения которого совпадают с КПД ГТУ, найденным с помощью вариантовых расчетов.

Ключевые слова: газотурбинная ТЭС, оптимизация параметров, математическое моделирование.

С целью снижения себестоимости производимой электроэнергии на ТЭС предлагается устанавливать газотурбинные установки, выполненные на базе агрегата типа АД-31СТ производства ОАО “Сатурн-Люлька” (Москва) [1] (рис. 1).

Для определения теплотехнических показателей ТЭС – РГТУ были рассчитаны характеристики ГТУ с использованием данных о параметрах АД-31СТ: массовый расход сжимаемого в компрессоре воздуха – 61 кг/с, давление сжатого воздуха – 2,1 МПа, внутренний КПД компрессора – 0,87. Полезная

мощность ГТУ (20 МВт) вычислена при температуре газов на входе в турбину $T_3 = 1523,15$ К. Принято, что давление газов на выходе из турбины $P_4 = 0,103$ МПа, а ее внутренний КПД – 0,8994. Эффективный КПД базовой ТЭС – ГТУ составил 36,5 % [1].

Расчеты по определению КПД ТЭС – РГТУ с двухступенчатым сжатием воздуха в компрессорах при разных давлениях газов на входе в турбину показали (рис. 2), что максимальное значение эффективного КПД ГТУ с двухступенчатым сжатием воздуха $\eta^* = 70,869\%$ может быть достигнуто при давлении газов на входе в ТВД 1,6 МПа и температуре газов перед ТВД $T_3 = 1523,15$ К. При этом давление газов перед ТНД $P_{4-1} = 0,4$ МПа, а за ТНД $P_4 = 0,103$ МПа. Электрическая мощность ГТУ $N_{\text{ГТУ}} = 59,055$ МВт, расход топлива $B_{\text{ТЭЦ}} = 2,28$ кг/с. Давление газов перед ТВД P_2 изменялось в диапазоне 1,2–1,8 МПа. Температура воздуха T_p после РВП1 и РВП2 принята равной 673,15 К; ко-

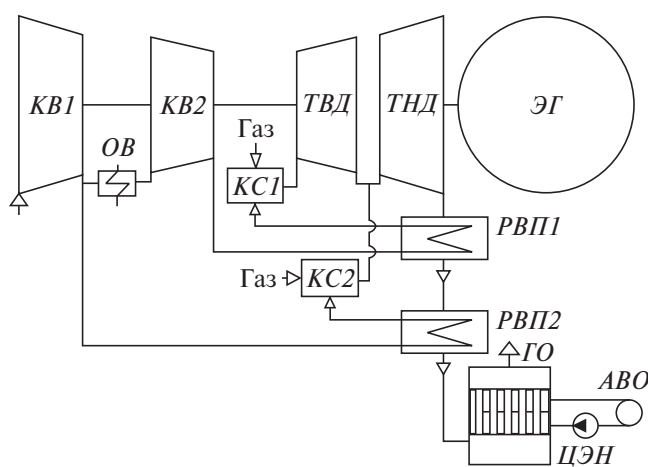


Рис. 1. Схема ТЭС – РГТУ с двухступенчатым сжатием воздуха в компрессорах и подводом теплоты в основную и дополнительную камеры сгорания:

KB1 и KB2 – воздушные компрессоры низкого и высокого давлений; OB – охладитель воздуха; KC1 и KC2 – основная и дополнительная камеры сгорания; ТВД и ТНД – газовые турбины высокого и низкого давления; РВП1 и РВП2 – регенеративные воздухоподогреватели высокого и низкого давления; ГО – контактный газоохладитель; АВО – аппарат воздушного охлаждения; ЦЭН – циркуляционный насос; ЭГ – электрогенератор

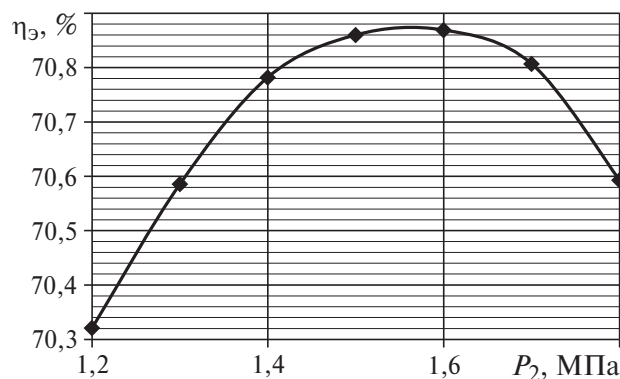


Рис. 2. Зависимость эффективного КПД ТЭС – РГТУ от давления газов на входе в газовую турбину высокого давления

| T_{4-3} , К | T_{4-4} , К | $N_{\text{РГТУ}}$, МВт | Q_{p1} , МВт | Q_{p2} , МВт | Q_r , МВт | B , кг/с | η^3 , % |
|---------------|---------------|-------------------------|----------------|----------------|-------------|------------|--------------|
| 1523,15 | 1321,75 | 70,519 | 21,861 | 18,9104 | 89,468 | 2,888 | 66,817 |
| 1473,15 | 1296,95 | 68,921 | 21,861 | 18,9104 | 84,808 | 2,805 | 67,219 |
| 1423,15 | 1272,45 | 67,358 | 21,861 | 18,9104 | 80,253 | 2,724 | 67,658 |
| 1373,15 | 1248,25 | 65,816 | 21,861 | 18,9104 | 75,815 | 2,643 | 68,126 |
| 1323,15 | 1224,45 | 64,311 | 21,861 | 18,9104 | 71,479 | 2,564 | 68,637 |
| 1273,15 | 1200,95 | 62,834 | 21,861 | 18,9104 | 67,254 | 2,485 | 69,187 |
| 1223,15 | 1177,85 | 61,388 | 21,861 | 18,9104 | 63,133 | 2,407 | 69,783 |
| 1173,15 | 1155,05 | 59,971 | 21,861 | 18,9104 | 59,122 | 2,330 | 70,423 |
| 1140,35 | 1140,35 | 59,055 | 21,861 | 18,9104 | 56,550 | 2,280 | 70,869 |

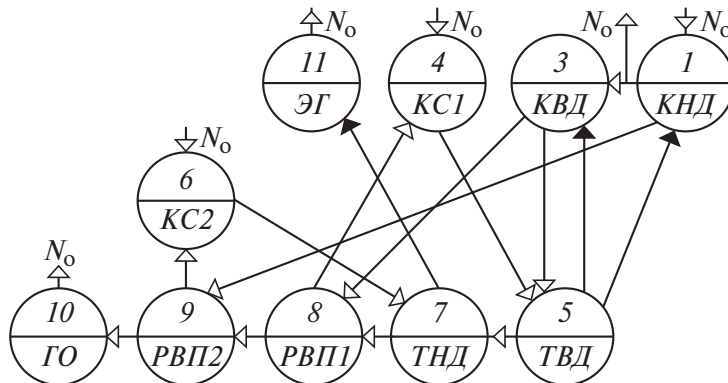


Рис. 3. Граф математической модели ТЭС – РГТУ с двухступенчатым сжатием воздуха и двухступенчатым подводом теплоты в основную $KC1$ и дополнительную $KC2$ камеры сгорания [2]:

1 и 3 – воздушные компрессоры низкого и высокого давления; 4 и 6 – камеры сгорания высокого и низкого давления; 5 и 7 – турбины высокого и низкого давления; 8 и 9 – регенеративные подогреватели высокого и низкого давления; 10 – газоохладитель; 11 – электрогенератор

эффективный избыток воздуха после $KHД$ $\alpha = 1,7802$.

В таблице приведены показатели РГТУ с двухступенчатым сжатием воздуха в компрессоре и двухступенчатым подводом теплоты в основную и дополнительную камеры сгорания при различных температурах газов на выходе из дополнительной камеры сгорания $KC2$ при $P_2 = 1,6$ МПа, $P_4 = 0,4$ МПа, $T_1 = 288,15$ К, $\alpha = 1,7802$, $T_3 = 1523,15$ К.

Для комплексной оптимизации параметров рабочих тел в исследуемой ТЭС – РГТУ были созданы граф и математическая модель установки (рис. 3). Уравнения математической модели представлены в виде балансов мощности:

для окружающей среды

$$N_0 - N_0(\eta_{0-1} + \eta_{0-4} + \eta_{0-6}) = 0; \quad (1)$$

для воздушного компрессора низкого давления $KHД1$:

$$N_1 - N_1(\eta_{1-0} + \eta_{1-3} + \eta_{1-9}) = 0; \quad (2)$$

для воздушного компрессора высокого давления $KVД3$:

$$N_3 - N_3(\eta_{3-5} + \eta_{3-8}) = 0; \quad (3)$$

для камеры сгорания высокого давления $KC1$:

$$N_4 - N_4\eta_{4-5} = 0; \quad (4)$$

для турбины высокого давления $TBД$:

$$N_5 - N_5(\eta_{5-1} + \eta_{5-3} + \eta_{5-7}) = 0; \quad (5)$$

для камеры сгорания низкого давления $KC2$:

$$N_6 - N_6\eta_{6-7} = 0; \quad (6)$$

для турбины низкого давления *THД*:

$$N_7 - N_7(\eta_{7-8} + \eta_{7-11}) = 0; \quad (7)$$

для регенеративного воздухоподогревателя высокого давления *PВП1*:

$$N_8 - N_8(\eta_{8-4} + \eta_{8-9}) = 0; \quad (8)$$

для регенеративного воздухоподогревателя низкого давления *PВП2*:

$$N_9 - N_9(\eta_{9-6} + \eta_{9-10}) = 0; \quad (9)$$

для газоохладителя *ГО*:

$$N_{10} - N_{10}\eta_{10-0} = 0; \quad (10)$$

для электрогенератора *ЭГ*:

$$N_{11} - N_{11}\eta_{11-0} = 0. \quad (11)$$

В уравнениях (1) – (11) символами от N_0 до N_{11} обозначены потоки мощности элементов графа математической модели ТЭС – РГТУ с двухступенчатым сжатием воздуха и подводом теплоты в основную *KC1* и дополнительную *KC2* камеры сгорания (см. рис. 3), а символами от η_{0-1} до η_{11-0} – коэффициенты передачи потоков энергии соответствующих элементов графа. Коэффициенты η определяются как отношение передаваемой мощности к мощности элемента графа, принимающего поток энергии.

В результате решения уравнений графа были получены следующие значения коэффициентов передачи потоков энергии: $\eta_{0-1} = 0,2749$; $\eta_{0-4} = 0,5136$; $\eta_{0-6} = 0,2115$; $\eta_{1-0} = 0,178$; $\eta_{1-3} = 0,3924$; $\eta_{1-9} = 0,4296$; $\eta_{3-5} = 0,0745$; $\eta_{3-8} = 0,9255$; $\eta_{4-5} = 1,0$; $\eta_{5-1} = 0,1732$; $\eta_{5-3} = 0,1026$; $\eta_{5-7} = 0,7242$; $\eta_{6-7} = 1,0$; $\eta_{7-8} = 0,5409$; $\eta_{7-11} = 0,4591$; $\eta_{8-4} = 0,3945$; $\eta_{8-9} = 0,6055$; $\eta_{9-6} = 0,4068$; $\eta_{4-10} = 0,5932$; $\eta_{10-0} = 1,0$; $\eta_{11-0} = 1,0$ и потоков мощности элементов графа: $N_0 = 114934,35$; $N_1 = 48812,3$; $N_3 = 29353,7$; $N_4 = 97190,35$; $N_5 = 99376,5$; $N_6 = 56663,7$; $N_7 = 128628,2$; $N_8 = 96740,8$; $N_9 = 79547,8$; $N_{10} = 47189,9$; $N_{11} = 59055$.

Подставляя полученные значения коэффициентов передачи потоков энергии в матрицу, определяем новое значение эффективного КПД для газотурбинной ТЭС:

$$\eta^3 = \frac{N_{11} \cdot 100}{N_0(\eta_{0-4} + \eta_{0-6})} = 70,866.$$

Погрешность вычислений для вариантной и комплексной оптимизации параметров рабочих тел газотурбинной ТЭС составила при оценке КПД 0,003 %.

Выводы

1. Применение рассмотренных ТЭС – РГТУ позволяет производить электроэнергию при высоком КПД (70,866 %). Увеличение эффективного КПД ТЭС – РГТУ с двухступенчатым сжатием воздуха и подводом теплоты в основную и дополнительную КС по сравнению с эффективным КПД базовой ТЭС – ГТУ (36,5 %) почти в 2 раза стало возможным благодаря снижению затрат на сжатие воздуха в компрессоре с промежуточным воздухоохладителем вследствие полезного использования теплоты уходящих газов для подогрева воздуха в регенеративных подогревателях и за счет увеличения массового расхода рабочего тела в турбину низкого давления из компрессора низкого давления, нагреваемого в дополнительной камере сгорания.

2. Повышение КПД также достигается при снижении температуры газов на выходе из дополнительной камеры сгорания *KC2* благодаря уменьшению потерь с уходящими газами. Оптимум обеспечивается при равенстве температур после *TВД* и после *KC2*.

3. Применение для оптимизации параметров рабочих тел ТЭС – РГТУ математического моделирования с использованием матриц высокоэффективно, о чем свидетельствует хорошая сходимость значений критерия оптимизации.

Список литературы

- Ольховский Г. Г. Газотурбинные и парогазовые установки в России. — Теплоэнергетика, 1999, № 1.
- Бирюков Б. В. Об эффективности производства теплоты в отопительных теплоцентралях с паровыми котлами и газовыми турбинами. — Промышленная энергетика, 2009, № 7.

shaposhnikov.valentin@gmail.com